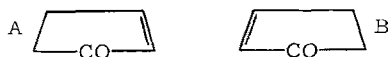


Modell des beteiligten $n \rightarrow \pi^*$ -Übergangs abgeleitet. Nach dieser Regel wurde die Konformation einiger Steroide und Triterpenoide bestimmt.

Zusätzliche konjugierte Doppelbindungen vergrößern den Cotton-Effekt stark, wenn sie sich etwa koplanar mit dem Chromophor einstellen können. Bei Cyclohexenonen mit ebener Anordnung des $C=C-O$ -Chromophors bestimmt dasjenige C-Atom des Ringes, das aus der Ebene hervorsteht, das Vorzeichen des Cotton-Effekts; liegt es in einem „positiven Octanten“, so ist der Cotton-Effekt negativ und umgekehrt.



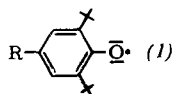
Bei $\alpha,\beta,\alpha',\beta'$ -diungesättigten Ketonen gilt wieder die klassische Octantenregel. Wird die Symmetrie des Chromophors jedoch durch weitere Konjugation, π - π -Wechselwirkung mit nichtkonjugierten $C=C$ - oder $C=O$ -Gruppen oder durch Wasserstoffbrücken gestört, so wird das Vorzeichen des Cotton-Effekts dadurch wie im obigen Falle bestimmt. Der Zirkulardichroismus mehrerer $\Delta^{1,4}$ -Dien-3-ketone der Steroidreihe läßt sich dadurch einfach erklären.

Eine einfache EPR-Methode zur Messung von g-Faktoren freier Radikale, angewendet auf substituierte Aroxylye

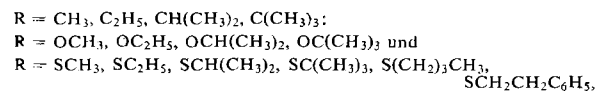
H. B. Stegmann (Vortr.) und K. Scheffler, Tübingen

g-Faktoren freier Radikale kann man mit geringem apparativen Aufwand mit großer Genauigkeit ($\pm 0,000005$ bis $\pm 0,00003$, je nach Linienbreite der untersuchten Signale) ermitteln, im wesentlichen dadurch, daß das EPR-Spektrum eines geeichten Standards, Thiophosphorsäurediphenyl-S-(1-oxyl-2,6-di-tert.butyl-4-phenyl)-ester, simultan mit dem EPR-Spektrum des zu untersuchenden Radikals registriert wird. Die Hyperfeinstruktur des Standard-Radikals ist so beschaffen, daß im zentralen Teil des Spektrums keine Überlappung der beiden registrierten Signale eintritt. Da sich beide Radikale während der Messung am gleichen Ort des H_0 -Feldes eines konventionellen EPR-Spektrographen befinden, müssen zur Ermittlung des gesuchten g-Faktors lediglich die Zentrenabstände beider Signale vermessen werden.

Es wurde der Substituenteneinfluß bei Aroxylen des Typs (1)



untersucht. Dabei zeigte es sich, daß für die Reihen



jeweils praktisch konstante Werte der g-Faktoren, nämlich 2,00451, 2,00461 und 2,00536, gefunden wurden. Für $R = SeC(CH_3)_3$ fanden wir den g-Faktor 2,00846. Während die Alkylreste also ohne maßgeblichen Einfluß auf die g-Faktoren bleiben, läßt sich eine Abhängigkeit des g-Faktors vom Aroxyl und Substituent verknüpfenden Atom deutlich erkennen. Damit kann auch eine Beteiligung spinloser Atome am Radikalzustand aus den g-Faktoren nachgewiesen werden.

Sedimentationsgleichgewichtsmessungen mit der Ultrazentrifuge zur Ermittlung des Polymerisationsgrades des Metavanadat-Ions $(VO_3)_n^{n-}$

H.-P. Stock, Berlin

Mit einer Ultrazentrifuge der Firma Beckman wurde das Sedimentationsgleichgewicht an 0,05 bis 0,2 M $NaVO_3$ -Lösungen gemessen. Zur elektrostatischen Entkopplung diente NaCl als Fremdelektrolyt. Dabei zeigte es sich, daß das par-

tielle spezifische Volumen des $NaVO_3$ stark vom NaCl-Gehalt der Lösungen abhängt. Die Wirksamkeit der elektrostatischen Entkopplung setzt beim etwa 20-fachen molaren Überschuß des Fremdelektrolyten ein [berechnet auf $(NaVO_3)_4$].

Die Gleichgewichtskurven wurden mit einer Schlierenoptik aufgenommen und

$$\log \frac{1}{r} \cdot \frac{dr}{dc}$$

als Funktion von r^2 aufgetragen. (r = Abstand vom Rotationszentrum, c = Konzentration an $NaVO_3$). Es ergaben sich dabei Geraden, aus deren Anstieg ϕ sich das Molekulargewicht des Polyanions nach

$$M = \frac{2RT}{(1 - v\rho) \cdot w^2} \lg \phi$$

errechnen läßt (R = Gaskonstante, v = partielles spezifisches Volumen des Gelösten, ρ = Dichte der Lösung, w = Umdrehungsgeschwindigkeit). Der so erhaltene Mittelwert betrug 419 und liegt demnach um 6 % über dem Wert 395,8 für ein tetrameres Metavanadat-Anion. Die Möglichkeit eines einen Kondensationsgrad 4 vortäuschenden Gemisches aus Tri- und Dekavanadat-Ionen, wie sie von Schiller und Thilo angenommen wird, ist auszuschließen, da hierbei die Kurven

$$\log \frac{1}{r} \cdot \frac{dr}{dr} = f(r^2)$$

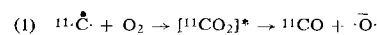
erheblich gekrümmt wären.

Reaktionen von Rückstoß-Kohlenstoff und seiner Folgeprodukte Methin und Methylen

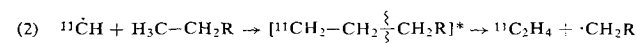
G. Stöcklin (Vortr.) [*] und A. P. Wolf, Upton, N.Y. (USA)

Die Erzeugung von Rückstoß-Kohlenstoff in situ in organischen Verbindungen bietet eine Möglichkeit, Reaktionen energetischer Kohlenstoffatome zu untersuchen. Die trägerfreien, markierten Reaktionsprodukte können radiogaschromatographisch quantitativ bestimmt werden.

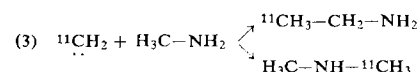
Die Reaktion von Rückstoß-Kohlenstoff mit reinem Sauerstoff – über den $^{16}O(p,pn\alpha)^{11}C$ -Prozeß – ergibt mit etwa 98 % der induzierten Gesamtaktivität ^{11}CO :



Reaktionen mit aliphatischen Kohlenwasserstoffen (C_1 bis C_5) – über den $^{12}C(n,2n)^{11}C$ -Prozeß – führen zu Acetylen und Äthylen als Hauptprodukte. Während die Bildung von Acetylen auf C-Insertion in C-H-Bindungen zurückgeführt werden kann [131], läßt sich die Entstehung von Äthylen durch eine Insertion von Methin deuten:



Hierbei ist die Äthylenausbeute der Zahl primärer C-Atome des Substratmoleküls direkt proportional. Die Reaktion am sekundären Kohlenstoff führt zu Propen. Die Bildung der nächst höheren gesättigten Homologen und Isomeren des Substrates (Nebenprodukte) läßt sich auf CH_2 -Insertion zurückführen. Mit Methylamin [$^{14}N(p,\alpha)^{11}C$ -Prozeß] [131] treten neben Acetylen und Äthylen u.a. die erwarteten CH_2 -Insertionsprodukte Äthylamin und Dimethylamin auf:



Während in Reaktion (3) bei der Insertion zwischen C-H- und N-H-Bindung nicht unterschieden wird [Ausbeute $(CH_3)_2NH/C_2H_5NH_2 = 2/3$; flüssige Phase in Gegenwart von Propylen], scheint eine analoge Insertion von C und CH an N-H-Bindungen nicht zu stabilen Produkten zu führen.

[*] Arbeitsgruppe, Institut für Radiochemie, Kernforschungsanlage Jülich.

[131] Zur Einführung und Übersicht: A. P. Wolf in V. Gold: Advances in Physical Organic Chemistry. Vol. II, Academic Press, New York 1964.